# Взаимодействие бифлуорофора 6-карбоксифлуоресцеина с циклодекстринами

А. С. Пилипович $^{1}$ , Ф. Фань $^{2}$ , И. И. Лысенк $^{2}$ , В. А. Поведайло $^{1}$ , С. А. Тихомиров $^{1}$ , В. В. Шманай $^{2}$ 

Методами спектрофотометрии и флуориметрии исследовано образование комплексов включения бифлуорофора (6-FAM) $_2$  с  $\alpha$ -,  $\beta$ - и  $\gamma$ -циклодекстринами в фосфатном буферном растворе (рН 9.0). Определены константы ассоциации и изменения энергии Гиббса для стехиометрии 1:1. Наибольшая константа ассоциации наблюдается для комплекса (6-FAM) $_2$  с  $\beta$ -циклодекстрином, что объясняется оптимальным пространственным соответствием размеров гостевой молекулы и полости хозяина. Показано влияние комплекса включения (6-FAM) $_2$ / $\beta$ -ЦД на флуоресцентный отклик системы в присутствии белка.

*Ключевые слова:* супрамолекулярная химия; циклодекстрины; бифлуорофор; комплексы включения; константа ассоциации; флуоресценция, белок.

## **Interaction of 6-Carboxyfluorescein Bifluorophore with Cyclodextrins**

H. S. Pilipovich<sup>1)</sup>, F. Fan<sup>2)</sup>, I. I. Lisenko<sup>2)</sup>, V. A. Povedailo<sup>1)</sup>, S. A. Tikhomirov<sup>1)</sup>, V. V. Shmanai<sup>2)</sup>

B. I. Stepanov Institute of Physics of the NAS of Belarus, Minsk, Belarus, e-mail: <a href="mailto:poved@ifanbel.bas-net.by">poved@ifanbel.bas-net.by</a>
Institute of Physical Organic Chemistry of the NAS of Belarus, Minsk, Belarus

The formation of inclusion complexes of the (6-FAM)<sub>2</sub> bifluorophore with  $\alpha$ -,  $\beta$ -, and  $\gamma$ -cyclodextrins in a phosphate buffer solution (pH 9.0) was studied by spectrophotometry and fluorimetry. The association constants and Gibbs energy changes for 1:1 stoichiometry was determined. The highest association constant was observed for the complex with  $\beta$ -cyclodextrin, which is explained by the optimal spatial match between the guest molecule and the host's cavity. The effect of the (6-FAM)<sub>2</sub>/ $\beta$ -CD inclusion complex on the fluorescent response of the system in the presence of protein is shown.

*Keywords:* supramolecular chemistry; cyclodextrins; bifluorophore; inclusion complexes; association constant; fluorescence, protein.

#### Введение

Супрамолекулярная химия рассматривает все виды нековалентных межмолекулярных взаимодействий в приложении к химическим, физическим и биологическим аспектам изучения сложных систем, лежащие в основе образования комплексов «хозяин-гость». Среди макроциклических соединений, выполняющих функцию хозяев, циклодекстрины (ЦД) являются одними из наиболее широко используемых в исследованиях. Гостевые молекулы представляют собой небольшие молекулы или ионы, чаще всего органические соединения, которые при взаимодействии с молекулами хозяевами изменяют свои спектральные характеристики,

<sup>1)</sup> Институт физики им. Б. И. Степанова НАН Беларуси, Минск, Беларусь, e-mail: poved@ifanbel.bas-net.by

<sup>&</sup>lt;sup>2)</sup>Институт физико-органической химии НАН Беларуси, Минск, Беларусь

биодоступность и стабильность. Способность ЦД инкапсулировать флуоресцентные красители делает их перспективными для применения в сенсорике, доставке лекарств и нанотехнологиях. В настоящей работе проведены исследования по взаимодействию комплексов включения бифлуорофора 6-карбоксифлуоресцеина (6-FAM)2 в буферном растворе рН 9.0 с  $\alpha$ -,  $\beta$ - и  $\gamma$ -циклодекстринами. Определены константы ассоциации ( $K_{acc}$ ) циклодекстринов с (6-FAM)2, изучено свойство комплекса в качестве флуоресцентного сенсора при взаимодействии с бычьим сывороточным альбумином (БСА). Для понимания природы взаимодействия ЦД с гостевыми молекулами использовались спектрометрические методы электронного поглощения из основного состояния, стационарной флуоресценции флуоресценции с временным разрешением.

#### 1. Объекты и методы исследований

Структура описанного ранее азидного производного бифлуорофора (6-FAM)<sub>2</sub> [1] представлена на рис. 1.

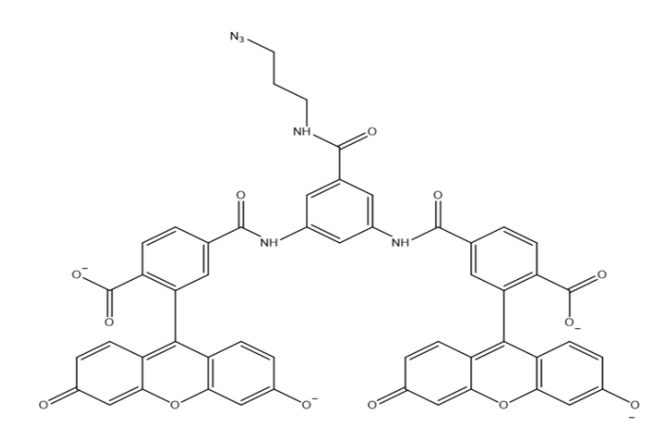


Рис. 1. Структурная формула мета-(6-FAM)2

При выполнении исследований в фосфатный буферный раствор (рН 9.0) с бифлуорофором добавляли  $\alpha$ -,  $\beta$ - или  $\gamma$ -ЦД. Концентрация бифлуорофора определялась по спектрам поглощения в растворе при комнатной температуре с учетом коэффициента экстинкции в максимуме первой полосы  $\varepsilon_{\text{max}} = 140000 \, \text{M}^{-1} \, \text{cm}^{-1} \, [1]$ . В качестве растворителя использовали воду milli Q. Спектры флуоресценции, а также времена жизни возбужденных состояний комплексов

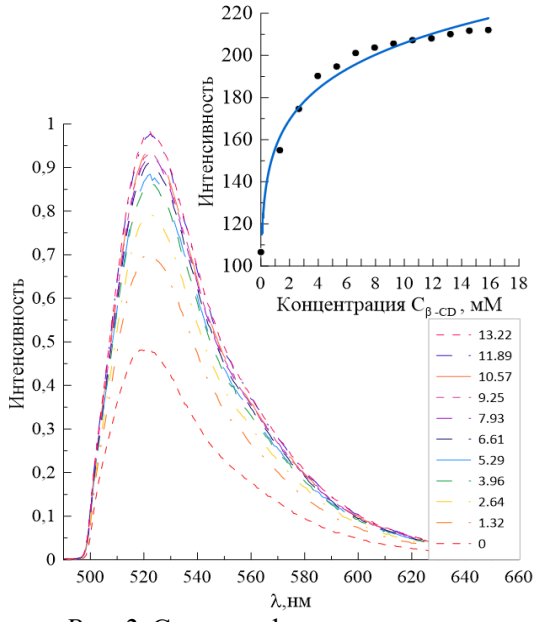
бифлуорофор/ЦД зарегистрированы при возбуждении излучением в максимумы полос поглощения  $\lambda\sim495$  нм и регистрации с  $\lambda\sim520$  нм на спектрометрическом комплексе Horiba Scientific Fluorolog-3, спектры поглощения — на спектрофотометре Shimadzy UV-3600 Plus. При исследовании использовали кварцевую кювету  $1\times0.5$  см.

## 2. Результаты и обсуждение

При добавлении  $\beta$ -ЦД к раствору (6-FAM)<sub>2</sub> происходит батохромный сдвиг и рост интенсивности полос флуоресценции и поглощения. На рис. 2 представлены спектры люминесценции растворов (6-FAM)<sub>2</sub> при добавлении  $\beta$ -ЦД. Концентрация бифлуорофора при измерениях флуоресценции была постоянной и составляла  $7.1\cdot10^{-7}$  М, концентрация  $\beta$ -ЦД варьировалась в пределах  $0\div0.016$  М. Максимум интенсивности флуоресценции (6-FAM)<sub>2</sub>/ $\beta$ -ЦД в буферном растворе со значением рН 9.0 незначительно смещается в длинноволновую область от 516 нм до 520 нм при увеличении концентрации  $\beta$ -ЦД. В то же время интенсивность флуоресценции увеличивается практически вдвое (рис. 3 на вставке), при этом форма спектров практически не изменяется.

Зависимость спектров поглощения (6-FAM) $_2$  от концентрации  $\beta$ -ЦД представлена на рис. 3. В данном эксперименте концентрация бифлуорофора составляла  $6.4\cdot10^{-6}$  М. Как видно на рисунке, максимум спектра при отсутствии  $\beta$ -ЦД соответствует длине волны 496 нм. При добавлении в раствор  $\beta$ -ЦД с максимальной

концентрацией 0.016 M, интенсивность поглощения возрастает слабее по сравнению с возрастанием флуоресценции, наблюдается увеличение оптической плотности в 1.17 раз, что отражено на вставке рис. 3. С увеличением концентрации β-циклодекстрина наблюдается незначительное батохромное смещение максимумов спектров поглощения, аналогично спектрам флуоресценции.



0,82 0.8 0.78 0,8 0,72 0,7 0,68 0,6 10 12 6 Концентрация  $C_{\beta \text{-CD}}$ , мМ □ 0,5 11.89 10.57 9.25 7.93 0,3 6.61 5.29 0,2 3.96 1.32 0.1 0 500 540 λ, нм

Рис. 2. Спектры флуоресценции смеси (6-FAM)<sub>2</sub> и его комплексов с β-ЦД в буферном растворе рН 9.0 при различных концентрациях β-ЦД. На вставке: Зависимость максимумов спектров флуоресценции смеси от концентрации β-ЦД

Рис. 3. Спектры поглощения системы 6-FAM<sub>2</sub>/β-ЦД. На вставке: Зависимость оптической плотности от концентрации β-ЦД

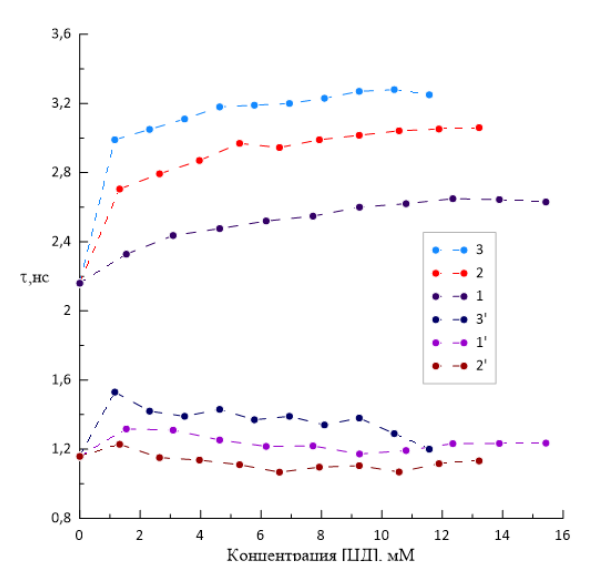
Чтобы получить больше информации о системе взаимодействий комплексов бифлуорофор/циклодекстрин, проведены аналогичные флуоресцентные измерения в буферном растворе (рН 9.0) бифлуорофора (6-FAM)<sub>2</sub> в присутствии различных концентраций  $\gamma$ -ЦД. Смещение максимума полосы флуоресценции в низкочастотную область раствора в насыщенном состоянии с  $\gamma$ -ЦД относительно максимума в отсутствии ЦД составляет 2 нм, форма полосы также практически не изменяется. Максимум интенсивности флуоресценции раствора в насыщении с  $\gamma$ -ЦД возрастает почти в два раза.

Исследования спектров флуоресценции (6-FAM) $_2$  в буферном растворе при добавлении  $\alpha$ -ЦД (pH 9.0) обнаруживают 30 % рост максимума интенсивности флуоресценции без существенных смещений по частоте и изменений формы полос.

Аналогичные исследования по регистрации спектров поглощения растворов  $(6\text{-FAM})_2/\alpha$ - и  $(6\text{-FAM})_2/\gamma$ -ЦД приводят к изменению максимумов полос на уровне 8%, что создает большую погрешность в последующих расчетах.

В работе получены зависимости времени жизни ( $\tau$ ) возбужденного состояния бифлуорофора (6-FAM)<sub>2</sub> от концентрации  $\alpha$ -,  $\beta$ - и  $\gamma$ -ЦД (рис. 4). Кинетика затухания флуоресценции изучалась в диапазоне концентраций циклодекстринов ( $\alpha$ -,  $\beta$ - или  $\gamma$ -ЦД) от 0 до  $\sim$ 0.016 M, что соответствует условиям насыщения. Полученные кривые были аппроксимированы в рамках одно- и двухэкспоненциальных моделей. В

первом случае наблюдается непрерывный рост значений времени жизни возбужденного состояния бифлуорофора с увеличением концентрации  $\alpha$ -,  $\beta$ - и  $\gamma$ -циклодекстринов. Более адекватное описание экспериментальных данных обеспечила двухэкспо-



Puc.~4. Зависимость длительной (1–3) и короткоживущей (1′–3′) компонент времени жизни флуоресценции 6-FAM2 от концентрации  $\alpha$ -,  $\beta$ - и  $\gamma$ -ЦД, соответственно.

ненциальная модель. Анализ полученных кинетических параметров выявил долгоживущую (1–3) и короткоживущую (1′–3′) компонен-ты, что свидетельствует о наличии как минимум двух различных процессов деактивации возбужденного состояния или типов комплексов включения

Таким образом, изменение интенсивностей в спектрах флуоресценции и поглощения, положения их максимумов, зависимости времени жизни возбужденных состояний указывают, что бифлуорофоры связываются с α-, β- и γ-циклодекстринами в условиях эксперимента.

Для получения численных значений констант ассоциации ( $K_{acc}$ ) бифлуорофора (6-FAM)<sub>2</sub> с  $\alpha$ -,  $\beta$ - и  $\gamma$ -ЦД, мы использовали уравнение Бенези-Хилде-

бранда (Б-X). В этой связи регистрировалась серия спектров флуоресценции/поглощения растворов при постоянных концентрациях бифлуорофора и различных концентрациях [ЦД] в фосфатном буферном растворе со значением рН 9.0 и постоянной температуре 25 °C. Уравнение Б-X имеет вид идентичный для спектров флуоресценции и поглощения:

$$\frac{1}{(I-I_0)} = \frac{1}{(I_{\text{MAKC}} - I_0)} + \frac{1}{[(I_{\text{MAKC}} - I_0) \cdot K_{\text{ACC}} [ \ \ \ \ \ \ \ \ ]]}$$
(1)

где  $I_0$ — интенсивность флуоресценции/поглощения раствора при отсутствии циклодекстрина,  $I_1$ — интенсивность флуоресценции/поглощения смеси свободных молекул и комплексов гость-хозяин,  $I_{\rm makc}$  — интенсивность флуоресценции / поглощения раствора при полном насыщении,  $K_{\rm acc}$  — константа ассоциации 1:1 комплекса.

Комплекс	${ m K}_{ m acc},$ флуоресценция, ${ m M}^{-1}$	${\sf K}_{\sf acc},$ поглощение, ${\sf M}^{{\scriptscriptstyle -1}}$	$\Delta G$ , кДж $\cdot$ моль $^{-1}$
6-FAΜ2/α-ЦД	269	-	-13,9
6-ҒАМ2/β-ЦД	588	446	-15,8
6-ҒАМ2/ү-ЦД	517	-	-15,5

*Примечания*.  $\Delta G$  рассчитано по данным флуоресценции.

В таблице приведены значения констант ассоциации ( $K_{acc}$ ) и рассчитанные величины энергии Гибса комплекса (6-FAM)<sub>2</sub>/ $\alpha$ -,  $\beta$ - и  $\gamma$ -ЦД при T=298 К. Величины  $K_{acc}$  были получены из наклона прямых графических зависимостей  $1/(I-I_0)$  от 1/[ЦД]. Наибольшее значение  $K_{acc}$  наблюдается для комплексов (6-FAM)<sub>2</sub>/ $\beta$ -ЦД при

регистрации по спектрам флуоресценции 588  $M^{-1}$ , а по спектрам поглощения 446  $M^{-1}$ . Для комплексов (6-FAM)<sub>2</sub>/ $\alpha$ -ЦД и (6-FAM)<sub>2</sub>/ $\gamma$ -ЦД получены более низкие значения  $K_{\rm acc}$  по спектрам флуоресценции 269 и 517  $M^{-1}$ , соответственно. Различия во взаимодействии (6-FAM)<sub>2</sub> с  $\alpha$ -,  $\beta$ - и  $\gamma$ -ЦД можно интерпретировать путем сравнения относительных размеров молекул ЦД и размеров фрагментов красителя. Размер большего диаметра внутренней полости тороидальной формы  $\alpha$ -,  $\beta$ - и  $\gamma$ -ЦД составляет  $\sim$ 5.2, 6.4 и 8.3 Å соответственно [2], тогда как ширина ксантенового фрагмента, согласно нашим квантово-химическим расчетам, составляет около 5.7 Å. Таким образом, инкапсуляция исследуемых бифлуорофоров в  $\alpha$ -ЦД затруднена и свидетельствует об частичном взаимодействии ксантенового фрагмента с циклодекстрином. Расположение хромофора внутри  $\gamma$ -ЦД относительно свободно, что снижает величину межмолекулярных нековалентных взаимодействий. Оптимальным вариантом инкапсуляции является комплекс (6-FAM)<sub>2</sub>/ $\beta$ -ЦД. Таким образом, результаты измерений показывают, что совместимость размеров полостей хозяин-гость в значительной степени определяют силу взаимодействия в системе.

## 3. Коньюгат комплекса (6-FAM)2/β-ЦД с белком BSA

В работе дополнительно проведены измерения влияния  $\beta$ -ЦД на интенсивность флуоресценции (6-FAM)<sub>2</sub> ковалентно связанного с белком BSA (бычьим сывороточным альбумином) в буферномрастворе рН 9.0. Выполнены два эксперимента по установлению очередности добавления реагентов. В первом случае предварительно смешали (6-FAM)<sub>2</sub> с  $\beta$ -ЦД с последующим присоединением белка методом клик-реакции. Концентрация коньюгата составляла  $7.1\cdot10^{-7}$  М. В этом случае интенсивность флуоресценции возрастала в 1.52 раза по сравнению с отсутствием циклодекстрина. Данный эффект можно объяснить изоляцией циклодекстрином переноса энергии от электронно возбужденного бифлуорофора комплекса (6-FAM)<sub>2</sub>/ $\beta$ -ЦД на, вероятнее на всего триптофан.

Во втором случае сначала ковалентно присоединяли бифлуорофор к белку методом клик-реакции с последующим добавлением β-ЦД. При регистрации флуоресценции с различной концентрацией циклодекстрина в растворе (0, 0.074, 0.148, 0.222, 0.296 мМ) наблюдается снижение интенсивности флуоресценции до 30 %. Тушение излучения может быть связано с конкурирующим связыванием β-ЦД с гидрофобными участками белка, что приводит к снижению концентрации комплексов (6-FAM)<sub>2</sub>/β-ЦД, а также тушением флуоресценции бифлуорофора аминокислотами (прежде всего триптофаном) [3].

Работа выполнена при поддержке Белорусского республиканского фонда фундаментальных исследований (проект Ф24-006) и Вьетнамской Академией наук и технологий (QTBY01.03/24-25).

### Библиографические ссылки

- 1. Fluorescent Properties of Carboxyfluorescein Bifluorophores / V. A. Povedailo [et al.] // J. of Fluoresc. 2020. Vol. 30, iss. 3. P. 629–635.
- 2. Cyclodextrins: Structural, Chemical, and Physical Properties, and Applications / B. G. Poulson [et al.] // Polysaccharides. 2022. Vol. 3, iss. 1. P. 1–31.
- 3. Фотофизические особенности протолитических равновесий бифлуорофоров флуоресцеина / Фань Фань [и др.] // Журн. прикл. спектр. 2024. Т. 91, № 5. С. 723–732.